

R-KEX II ancorante chimico epossidico con inserti filettati internamente

Ancorante chimico in resina epossidica pura 3:1 con omologazione per inserti filettati internamente



Approvazioni e rapporti

- ETA-21/0244



Informazioni sul prodotto

Caratteristiche e vantaggi

- Si presta ad un utilizzo plurimo. Permette la rimozione della vite lasciando nel foro l'inserto riutilizzabile per future applicazioni
- Approvato per l'uso con prese (ITS) per l'uso in calcestruzzo fessurato e non fessurato (EAD 330499-01-0601), durata fino a 100 anni
- Adatto per uso in materiali di supporto asciutti, umidi o sommersi
- Elevata resistenza chimica - adatto per applicazioni soggette all'influenza di vari agenti atmosferici (ambienti industriali o marini)
- Un allungato tempo di polimerizzazione permette una facile installazione tra componenti metallici (fino a 30 min in 20°)
- Per uso a temperature positive

Applicazioni

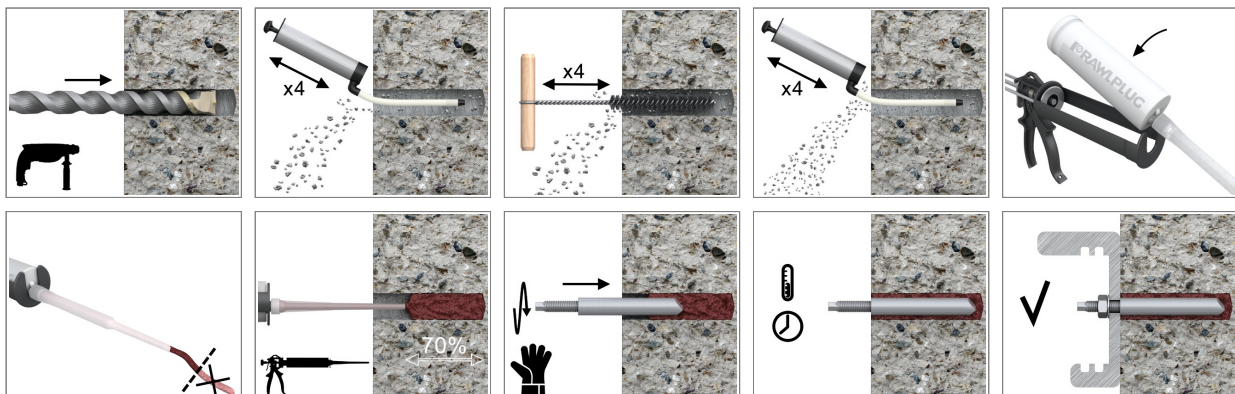
- Ringhiere di protezione
- Lavori temporanei/sistemi di supporto per casseforme
- Ringhiere
- Barriere
- Facciate
- Ponteggi
- Macchinari
- Piattaforme
- Costruzioni d'acciaio

Materiale di supporto

Certificato per:

- Cemento non screpolato C20/25-C50/60

Guida all'installazione



Informazioni sul prodotto

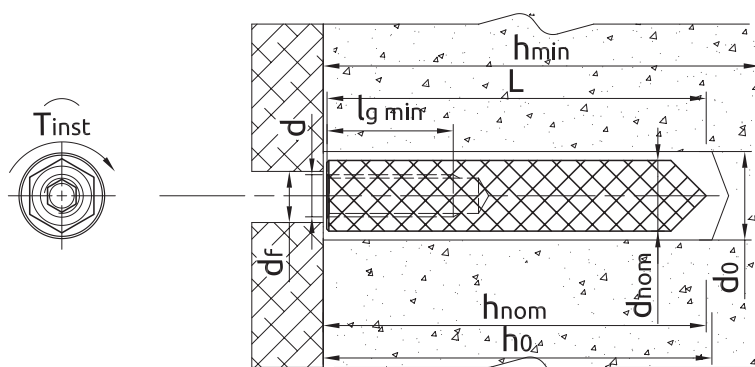
1. Effettuare il foro del diametro e profondità richiesti per il tassello utilizzato
2. Pulire il foro con uno scovolino e un soffietto manuale almeno 4 volte. E' molto importante e necessario prima dell'installazione
3. Inserire la cartuccia nella pistola e avvitare il beccuccio miscelatore
4. Estrudere e buttare la resina fino a quando non si è ottenuto un colore uniforme.
5. Inserire il beccuccio miscelatore fino in fondo al foro e iniettare la resina lentamente ritirando il beccuccio fino a che il foro non è riempito per 2/3 della profondità
6. Inserire l'inserto immediatamente, piano e con un movimento rotatorio. Rimuovere la resina in eccesso prima che polimerizzi e lasciare l'inserto indisturbato fino a quanto non sono trascorsi i tempi di polimerizzazione.
7. Applicare l'elemento da fissare e stringere il dado alla coppia di serraggio richiesta

| Codice Prodotto | Resina | Descrizione / Tipo di resina | Volume |
|-----------------|----------|------------------------------|--------|
| | | | [ml] |
| R-KEX-II-385 | R-KEX II | Resina epossidica | 385 |
| R-KEX-II-600 | | | 600 |

CHIAVI A BUSSOLA

| Dimen- sione | Codice Prodotto | | Ancorante | | | Elemento sigil- | |
|-----------------|----------------------|----------------|---------------------------|-----------|---|----------------------|----------------|
| | Classe d'acciaio 5.8 | Acciaio A4 | Diametro del manicotto | Lunghezza | lunghezza fi- lettatura inter- na | Diametro del foro | Diametro |
| | | | d | L | l _g | d _f | d ₁ |
| | | | [mm] | [mm] | [mm] | [mm] | [mm] |
| M6 | R-ITS-Z-06075 | R-ITS-A4-06075 | 10 | 75 | 24 | 7 | - |
| M8 | R-ITS-Z-08075 | R-ITS-A4-08075 | 12 | 75 | 25 | 9 | - |
| | R-ITS-Z-08090 | R-ITS-A4-08090 | 12 | 90 | 25 | 9 | - |
| M10 | R-ITS-Z-10075 | R-ITS-A4-10075 | 16 | 75 | 30 | 12 | - |
| | R-ITS-Z-10100 | R-ITS-A4-10100 | 16 | 100 | 30 | 12 | - |
| M12 | R-ITS-Z-12100 | R-ITS-A4-12100 | 16 | 100 | 35 | 14 | - |
| M16 | R-ITS-Z-16125 | R-ITS-A4-16125 | 24 | 125 | 50 | 18 | - |

Installazione



CHIAVI A BUSSOLA

| Dimensione | | | M6 | M8 | M10 | M12 | M16 | | |
|--|------------|------|------------------------------|------------------------------|------------------------------|------------------|------------------|------------------|------------------|
| Min. profondità di installazione | h_{nom} | [mm] | 75 | 75 | 90 | 75 | 100 | 100 | 125 |
| diametro del filo | d | [mm] | 6 | 8 | 8 | 10 | 10 | 12 | 16 |
| Diametro del foro nel supporto | d_0 | [mm] | 12 | 14 | 14 | 20 | 20 | 20 | 28 |
| Diametro del foro nell'elemento da fissare | d_f | [mm] | 7 | 9 | 9 | 12 | 12 | 14 | 18 |
| Lunghezza di innesto del filo | h_s | [mm] | 24 | 25 | 25 | 30 | 30 | 35 | 50 |
| Min. Profondità del foro nel supporto | h_0 | [mm] | $h_{nom} + 5$ | $h_{nom} + 5$ | $h_{nom} + 5$ | $h_{nom} + 5$ | $h_{nom} + 5$ | $h_{nom} + 5$ | $h_{nom} + 5$ |
| Min. Spessore del supporto | h_{min} | [mm] | $h_{nom} + 30$ ≥ 100 | $h_{nom} + 30$ ≥ 100 | $h_{nom} + 30$ ≥ 100 | $h_{nom} + 2d_0$ | $h_{nom} + 2d_0$ | $h_{nom} + 2d_0$ | $h_{nom} + 2d_0$ |
| Coppia di installazione | T_{inst} | [Nm] | 3 | 5 | 5 | 10 | 10 | 20 | 40 |
| Spaziatura min | s_{min} | [mm] | 40 | 40 | 50 | 40 | 50 | 50 | 70 |
| Min. Distanza dal bordo | c_{min} | [mm] | 40 | 40 | 50 | 40 | 50 | 50 | 70 |

Tempo minimo di lavorazione e di polimerizzazione

| Temperatura della resina | Temperatura del calcestruzzo | Tempo di polimerizzazione | Orario di lavoro |
|--------------------------|------------------------------|---------------------------|------------------|
| [°C] | [°C] | [min] | [min] |
| 5 | 5 | 2880 | 150 |
| 10 | 10 | 1080 | 120 |
| 20 | 20 | 480 | 35 |
| 25 | 30 | 300 | 12 |

Su calcestruzzo bagnato il curing time deve essere doppio

Proprietà meccaniche

| Dimensione | | | M6 | M8 | M10 | M12 | M16 |
|--|----------|----------------------|-----|-----|-----|-----|-----|
| R-ITS- INSERTI FILETTATI INTERNAMENTE | | | | | | | |
| Resistenza alla trazione massima nominale - tensione | f_{uk} | [N/mm ²] | 520 | 500 | 500 | 500 | 500 |
| Resistenza allo snervamento nominale - tensione | f_{yk} | [N/mm ²] | 420 | 400 | 400 | 400 | 400 |
| sezione trasversale - tensione | A_s | [mm ²] | 20 | 37 | 58 | 84 | 157 |
| Modulo a sezione elastica | W_{el} | [mm ³] | 21 | 50 | 98 | 170 | 402 |
| R-ITS-A4 INSERTI FILETTATI INTERNAMENTE | | | | | | | |
| Resistenza alla trazione massima nominale - tensione | f_{uk} | [N/mm ²] | 700 | 700 | 700 | 700 | 700 |
| Resistenza allo snervamento nominale - tensione | f_{yk} | [N/mm ²] | 350 | 350 | 350 | 350 | 350 |
| sezione trasversale - tensione | A_s | [mm ²] | 20 | 37 | 58 | 84 | 157 |
| Modulo a sezione elastica | W_{el} | [mm ³] | 21 | 50 | 98 | 170 | 402 |

Proprietà meccaniche

| Dimensione | | | M6 | M8 | M10 | M12 | M16 |
|--|--------------|------|----|----|-----|-----|-----|
| R-STUDS BARRE METRICHE FILETTATE, ACCIAIO CLASSE 5.8. | | | | | | | |
| Resistenza alla flessione caratteristica | $M^0_{Rk,s}$ | [Nm] | 8 | 19 | 37 | 65 | 166 |
| Momento flettente calcolato | M | [Nm] | 6 | 15 | 30 | 52 | 133 |
| Resistenza alla flessione ammissibile | M_{rec} | [Nm] | 5 | 11 | 21 | 37 | 95 |
| R-STUDS barre metriche filettate, acciaio classe 8.8. | | | | | | | |
| Resistenza alla flessione caratteristica | $M^0_{Rk,s}$ | [Nm] | 12 | 30 | 60 | 105 | 266 |
| Momento flettente calcolato | M | [Nm] | 10 | 24 | 48 | 84 | 213 |
| Resistenza alla flessione ammissibile | M_{rec} | [Nm] | 7 | 17 | 34 | 60 | 152 |
| R-STUDS barre metriche filettate, acciaio inox classe A4. | | | | | | | |
| Resistenza alla flessione caratteristica | $M^0_{Rk,s}$ | [Nm] | 11 | 26 | 52 | 92 | 233 |
| Momento flettente calcolato | M | [Nm] | 7 | 17 | 34 | 59 | 149 |
| Resistenza alla flessione ammissibile | M_{rec} | [Nm] | 5 | 12 | 24 | 42 | 107 |

Dati di prestazione base

Chiavi a bussola

Caratteristiche tecniche per fissaggio singolo indipendentemente dalla distanza dai bordi o interasse

| Dimensione | | M6 | M8 | M10 | M12 | M16 | | |
|---|------|----------------------------|------|------|-------|-------|------|-------|
| Supporto | | Calcestruzzo non fessurato | | | | | | |
| Profondità di posa effettiva h_{ef} | [mm] | 75.0 | 90.0 | 75.0 | 100.0 | 125.0 | | |
| CARICO FINALE MEDIO | | | | | | | | |
| CARICO A TRAZIONE $N_{Ru,m}$ | | | | | | | | |
| R-STUDS BARRE METRICHE FILETTATE, ACCIAIO CLASSE 5.8. | [kN] | 12.5 | 21.6 | 21.6 | 34.8 | 34.8 | 50.4 | 93.6 |
| R-STUDS BARRE METRICHE FILETTATE, ACCIAIO CLASSE 8.8. | [kN] | 19.2 | 34.8 | 34.8 | 50.6 | 55.2 | 77.9 | 108.9 |
| R-STUDS BARRE METRICHE FILETTATE, ACCIAIO INOX CLASSE A4. | [kN] | 16.8 | 31.2 | 31.2 | 49.2 | 49.2 | 70.9 | 108.9 |
| CARICO A TAGLIO $V_{Ru,m}$ | | | | | | | | |
| R-STUDS BARRE METRICHE FILETTATE, ACCIAIO CLASSE 5.8. | [kN] | 7.00 | 12.8 | 12.8 | 19.3 | 19.3 | 29.2 | 53.8 |
| R-STUDS BARRE METRICHE FILETTATE, ACCIAIO CLASSE 8.8. | [kN] | 9.60 | 18.0 | 18.0 | 27.6 | 27.6 | 40.8 | 75.6 |
| R-STUDS BARRE METRICHE FILETTATE, ACCIAIO INOX CLASSE A4. | [kN] | 8.40 | 15.6 | 15.6 | 24.0 | 24.0 | 34.8 | 66.0 |
| CARICO CARATTERISTICO | | | | | | | | |
| CARICO A TRAZIONE N_{Rk} | | | | | | | | |
| R-STUDS BARRE METRICHE FILETTATE, ACCIAIO CLASSE 5.8. | [kN] | 10.00 | 18.0 | 18.0 | 29.0 | 29.0 | 42.0 | 68.8 |
| R-STUDS BARRE METRICHE FILETTATE, ACCIAIO CLASSE 8.8. | [kN] | 16.0 | 29.0 | 29.0 | 32.0 | 46.0 | 49.2 | 68.8 |
| Rottura dell'acciaio | [kN] | 14.0 | - | - | - | - | - | - |
| R-STUDS BARRE METRICHE FILETTATE, ACCIAIO INOX CLASSE A4. | [kN] | - | 25.0 | 25.0 | 32.0 | 40.0 | 49.2 | 68.8 |
| CARICO A TAGLIO V_{Rk} | | | | | | | | |
| R-STUDS BARRE METRICHE FILETTATE, ACCIAIO CLASSE 5.8. | [kN] | 6.00 | 11.0 | 11.0 | 17.0 | 17.0 | 25.0 | 47.0 |
| R-STUDS BARRE METRICHE FILETTATE, ACCIAIO CLASSE 8.8. | [kN] | 8.00 | 14.6 | 14.6 | 23.2 | 23.2 | 33.7 | 62.8 |
| R-STUDS BARRE METRICHE FILETTATE, ACCIAIO INOX CLASSE A4. | [kN] | 7.00 | 12.8 | 12.8 | 20.3 | 20.3 | 29.5 | 55.0 |

Dati di prestazione base

| Dimensione | | M6 | M8 | M10 | M12 | M16 | | |
|---|------|------|------|------|------|------|------|------|
| CARICO DI PROGETTAZIONE | | | | | | | | |
| CARICO A TRAZIONE N_{Rd} | | | | | | | | |
| R-STUDS BARRE METRICHE FILETTATE, ACCIAIO CLASSE 5.8. | [kN] | 6.67 | 12.0 | 12.0 | 17.8 | 17.8 | 27.3 | 38.2 |
| R-STUDS BARRE METRICHE FILETTATE, ACCIAIO CLASSE 8.8. | [kN] | 10.5 | 17.8 | 19.3 | 17.8 | 27.3 | 27.3 | 38.2 |
| Rottura dell'acciaio | [kN] | 7.49 | - | - | - | - | - | - |
| R-STUDS BARRE METRICHE FILETTATE, ACCIAIO INOX CLASSE A4. | [kN] | - | 13.4 | 13.4 | 17.8 | 21.4 | 27.3 | 38.2 |
| CARICO A TAGLIO V_{Rd} | | | | | | | | |
| R-STUDS BARRE METRICHE FILETTATE, ACCIAIO CLASSE 5.8. | [kN] | 4.80 | 8.80 | 8.80 | 13.6 | 13.6 | 20.0 | 37.6 |
| R-STUDS BARRE METRICHE FILETTATE, ACCIAIO CLASSE 8.8. | [kN] | 6.40 | 11.7 | 11.7 | 18.6 | 18.6 | 27.0 | 50.2 |
| R-STUDS BARRE METRICHE FILETTATE, ACCIAIO INOX CLASSE A4. | [kN] | 4.49 | 8.21 | 8.21 | 13.1 | 13.0 | 18.9 | 35.3 |
| CARICO RACCOMANDATO | | | | | | | | |
| CARICO A TRAZIONE N_{rec} | | | | | | | | |
| R-STUDS BARRE METRICHE FILETTATE, ACCIAIO CLASSE 5.8. | [kN] | 4.76 | 8.57 | 8.57 | 12.7 | 12.7 | 19.5 | 27.3 |
| R-STUDS BARRE METRICHE FILETTATE, ACCIAIO CLASSE 8.8. | [kN] | 7.48 | 12.7 | 13.8 | 12.7 | 19.5 | 19.5 | 27.3 |
| R-STUDS BARRE METRICHE FILETTATE, ACCIAIO INOX CLASSE A4. | [kN] | 5.35 | 9.55 | 9.55 | 12.7 | 15.3 | 19.5 | 27.3 |
| CARICO A TAGLIO V_{rec} | | | | | | | | |
| R-STUDS BARRE METRICHE FILETTATE, ACCIAIO CLASSE 5.8. | [kN] | 3.43 | 6.29 | 6.29 | 9.71 | 9.71 | 14.3 | 26.9 |
| R-STUDS BARRE METRICHE FILETTATE, ACCIAIO CLASSE 8.8. | [kN] | 4.57 | 8.34 | 8.34 | 13.3 | 13.3 | 19.3 | 35.9 |
| R-STUDS BARRE METRICHE FILETTATE, ACCIAIO INOX CLASSE A4. | [kN] | 3.21 | 5.86 | 5.86 | 9.29 | 9.29 | 13.5 | 25.2 |

Dati di prestazione di progetto

Chiavi a bussola

| Dimensione | | | M6 | M8 | | M10 | | M12 | M16 |
|--|-----------------|----------------------|---------------|---------------|---------------|---------------|---------------|---------------|---------------|
| Profondità di posa effettiva | h_{ef} | [mm] | 75.00 | 75.00 | 90.00 | 75.00 | 100.00 | 100.00 | 125.00 |
| CARICO A TRAZIONE | | | | | | | | | |
| CEDIMENTO ACCIAIO; CLASSE D'ACCIAIO 5.8 | | | | | | | | | |
| Resistenza caratteristica | $N_{Rk,s}$ | [kN] | 10.00 | 18.00 | 18.00 | 29.00 | 29.00 | 42.00 | 78.00 |
| Fattore di sicurezza parziale | γ_{Ms} | - | 1.50 | 1.50 | 1.50 | 1.50 | 1.50 | 1.50 | 1.50 |
| CEDIMENTO ACCIAIO; CLASSE D'ACCIAIO 8.8 | | | | | | | | | |
| Resistenza caratteristica | $N_{Rk,s}$ | [kN] | 16.00 | 29.00 | 29.00 | 46.00 | 46.00 | 67.00 | 125.00 |
| Fattore di sicurezza parziale | γ_{Ms} | - | 1.50 | 1.50 | 1.50 | 1.50 | 1.50 | 1.50 | 1.50 |
| CEDIMENTO ACCIAIO; GRADO D'ACCIAIO A4-70 | | | | | | | | | |
| Resistenza caratteristica | $N_{Rk,s}$ | [kN] | 14.00 | 25.00 | 25.00 | 40.00 | 40.00 | 59.00 | 109.00 |
| Fattore di sicurezza parziale | γ_{Ms} | - | 1.87 | 1.87 | 1.87 | 1.87 | 1.87 | 1.87 | 1.87 |
| CEDIMENTO COMBINATO, ROTTURA E CEDIMENTO DEL CONO; CALCESTRUZZO NON FESSURATO, C20/25 (40°C/24°C) | | | | | | | | | |
| Resistenza ai legami caratteristica | T_{Rk} | [N/mm ³] | 8.00 | 12.00 | 12.00 | 12.00 | 12.00 | 11.00 | 10.00 |
| [Italian]: Sustained load factor | ψ_{sus}^0 | - | 0.75 | 0.75 | 0.75 | 0.75 | 0.75 | 0.75 | 0.75 |
| CEDIMENTO COMBINATO, ROTTURA E CEDIMENTO DEL CONO; CALCESTRUZZO NON FESSURATO C20/25 (80°C/50°C) | | | | | | | | | |
| Resistenza ai legami caratteristica | T_{Rk} | [N/mm ³] | 7.50 | 11.00 | 11.00 | 11.00 | 11.00 | 10.00 | 9.00 |
| [Italian]: Sustained load factor | ψ_{sus}^0 | - | 0.72 | 0.72 | 0.72 | 0.72 | 0.72 | 0.72 | 0.72 |
| CEDIMENTO COMBINATO, ROTTURA E CEDIMENTO DEL CONO | | | | | | | | | |
| Fattore di sicurezza dell'installazione | γ_{inst} | - | 1.20 | 1.20 | 1.20 | 1.20 | 1.20 | 1.20 | 1.20 |
| Increasing factors for NRd,p - C30/37 | ψ_c | - | 1.04 | 1.04 | 1.04 | 1.04 | 1.04 | 1.04 | 1.04 |
| Increasing factors for NRd,p - C40/50 | ψ_c | - | 1.07 | 1.07 | 1.07 | 1.07 | 1.07 | 1.07 | 1.07 |
| Increasing factors for NRd,p - C50/60 | ψ_c | - | 1.09 | 1.09 | 1.09 | 1.09 | 1.09 | 1.09 | 1.09 |
| CEDIMENTO DEL CONO DEL CALCESTRUZZO | | | | | | | | | |
| Fattore di sicurezza dell'installazione | γ_{inst} | - | 1.20 | 1.20 | 1.20 | 1.20 | 1.20 | 1.20 | 1.20 |
| Coefficiente per calcestruzzo non fessurato | $k_{ucr,N}$ | - | 11.00 | 11.00 | 11.00 | 11.00 | 11.00 | 11.00 | 11.00 |
| Distanza dal bordo | $c_{cr,N}$ | [mm] | 1,5* h_{ef} | 1,5* h_{ef} | 1,5* h_{ef} | 1,5* h_{ef} | 1,5* h_{ef} | 1,5* h_{ef} | 1,5* h_{ef} |
| Spaziatura di ancoraggio | $s_{cr,N}$ | [mm] | 3,0* h_{ef} | 3,0* h_{ef} | 3,0* h_{ef} | 3,0* h_{ef} | 3,0* h_{ef} | 3,0* h_{ef} | 3,0* h_{ef} |
| ROTTURA DEL CALCESTRUZZO | | | | | | | | | |
| Fattore di sicurezza dell'installazione | γ_{inst} | - | 1.20 | 1.20 | 1.20 | 1.20 | 1.20 | 1.20 | 1.20 |

Dati di prestazione di progetto

| Dimensione | | | M6 | M8 | M10 | M12 | M16 | | |
|---|-----------------|------|--------------------------|--------------------------|--------------------------|--------------------------|--------------------------|--------------------------|--------------------------|
| CARICO A TAGLIO | | | | | | | | | |
| CEDIMENTO ACCIAIO; CLASSE D'ACCIAIO 5.8 | | | | | | | | | |
| Resistenza caratteristica senza braccio di leva | $V_{Rk,s}$ | [kN] | 6.00 | 11.00 | 11.00 | 17.00 | 17.00 | 25.00 | 47.00 |
| Fattore di duttilità | k_7 | - | 1.00 | 1.00 | 1.00 | 1.00 | 1.00 | 1.00 | 1.00 |
| Resistenza caratteristica con braccio di leva | $M_{Rk,s}$ | [Nm] | 7.60 | 18.70 | 18.70 | 37.40 | 37.40 | 65.50 | 166.50 |
| Fattore di sicurezza parziale | γ_{Ms} | - | 1.25 | 1.25 | 1.25 | 1.25 | 1.25 | 1.25 | 1.25 |
| CEDIMENTO ACCIAIO; CLASSE D'ACCIAIO 8.8 | | | | | | | | | |
| Resistenza caratteristica senza braccio di leva | $V_{Rk,s}$ | [kN] | 8.00 | 14.60 | 14.60 | 23.20 | 23.20 | 33.70 | 62.80 |
| Fattore di duttilità | k_7 | - | 1.00 | 1.00 | 1.00 | 1.00 | 1.00 | 1.00 | 1.00 |
| Resistenza caratteristica con braccio di leva | $M_{Rk,s}$ | [Nm] | 12.20 | 30.00 | 30.00 | 59.80 | 59.80 | 104.80 | 266.40 |
| Fattore di sicurezza parziale | γ_{Ms} | - | 1.25 | 1.25 | 1.25 | 1.25 | 1.25 | 1.25 | 1.25 |
| CEDIMENTO ACCIAIO; GRADO D'ACCIAIO A4-70 | | | | | | | | | |
| Resistenza caratteristica senza braccio di leva | $V_{Rk,s}$ | [kN] | 7.00 | 12.80 | 12.80 | 20.30 | 20.30 | 29.50 | 55.00 |
| Fattore di duttilità | k_7 | - | 1.00 | 1.00 | 1.00 | 1.00 | 1.00 | 1.00 | 1.00 |
| Resistenza caratteristica con braccio di leva | $M_{Rk,s}$ | [Nm] | 10.70 | 26.20 | 26.20 | 52.30 | 52.30 | 91.70 | 233.10 |
| Fattore di sicurezza parziale | γ_{Ms} | - | 1.56 | 1.56 | 1.56 | 1.56 | 1.56 | 1.56 | 1.56 |
| CEDIMENTO DEL CALCESTRUZZO | | | | | | | | | |
| Fattore | k | - | 2.00 | 2.00 | 2.00 | 2.00 | 2.00 | 2.00 | 2.00 |
| Fattore di sicurezza dell'installazione | γ_{inst} | - | 1.00 | 1.00 | 1.00 | 1.00 | 1.00 | 1.00 | 1.00 |
| CEDIMENTO DEL BORDO DEL CALCESTRUZZO | | | | | | | | | |
| Diametro dell'ancorante | d_{nom} | [mm] | 10.00 | 12.00 | 12.00 | 16.00 | 16.00 | 16.00 | 24.00 |
| Lunghezza effettiva dell'ancorante | l_f | [mm] | <Cannot calculate 'var v | <Cannot calculate 'var v | <Cannot calculate 'var v | <Cannot calculate 'var v | <Cannot calculate 'var v | <Cannot calculate 'var v | <Cannot calculate 'var v |
| Fattore di sicurezza dell'installazione | γ_{inst} | - | 1.00 | 1.00 | 1.00 | 1.00 | 1.00 | 1.00 | 1.00 |

Distruzione combinato mediante la spiumatura e distruzione del cono in calcestruzzo (EN 1992-4:2018, p.7.2.1.6., 7.14 -

$$N_{Rk,p}^0 = \psi_{sus}^0 * \tau_{Rk} * n * d * h_{ef}$$

$$h_{ef} = h_{nom}$$

Dati logistici

| Codice Prodotto | Volume [ml] | Quantità [pz] | | | Peso [kg] | | | Codici a barre |
|-----------------|-------------|---------------|---------|--------|-----------|---------|--------|----------------|
| | | Scatola | Imballo | Pedana | Scatola | Imballo | Pedana | |
| R-KEX-II-385 | 385 | 10 | 10 | 560 | 6.7 | 6.7 | 405.8 | 5906675028538 |
| R-KEX-II-600 | 600 | 7 | 7 | 441 | 7.0 | 7.0 | 472.7 | 5906675293721 |

1) ETA-21/0244